

ORIGINAL ARTICLE

Synthesis, Cytotoxic Activity and Docking Study of Two Indole-Chalcone Derivatives

Hassan Mirzaei¹,

Mohammad Shokrzadeh²,

Saeed Emami³

¹ PhD Student, Pharmaceutical Sciences Research Center, Student Research Committee, Faculty of Pharmacy, Mazandaran University of Medical Sciences, Sari, Iran

² Associate Professor, Department of Toxicology and Pharmacology, Faculty of Pharmacy, Mazandaran University of Medical Sciences, Sari, Iran

³ Professor, Department of Medicinal Chemistry, Pharmaceutical Sciences Research Center, Mazandaran University of Medical Sciences, Sari, Iran

(Received July 1, 2017 Accepted September 20, 2017)

Abstract

Background and purpose: Chalcones are promising lead for anticancer drug design and discovery. Chalcones with different mechanisms including tubulin polymerization inhibition induce apoptosis in cancer cells. The aim of current work was synthesis of two indole-chalcone derivatives and investigation of their cytotoxic activity against cancer and normal cell lines, as well as molecular docking study with the proposed target tubulin.

Materials and methods: In this study, the indole-chalcone derivatives (**3a** and **3b**) were prepared by the reaction of 4-methoxybenzaldehyde with 3-acetylindole or *N*-methyl-3-acetyl-indole in the presence of LiOH as catalyst. The pure compounds obtained were characterized by ¹H NMR, IR, and Mass spectroscopy. The cytotoxic activity of synthesized compounds was tested using MTT assay toward four cancer cell lines (A549, MCF7, HepG2 and SKOV3) and a normal cell line (NIH3T3) in comparison with etoposide. Molecular docking was performed by using AutoDock 4.2 software to evaluate potential mechanism and interactions of chalcone compounds with the tubulin (1SA0) binding site.

Results: The ¹H NMR spectra of compounds showed two doublets related to the vinylic protons with coupling constant value of 15.6 Hz, demonstrating *trans* configuration of the compounds. Cytotoxicity assay showed that these compounds had a significant effect against viability of cancer cells. The compound **3b** with IC₅₀ value of 8.1 µg/ml against HepG2 had the most potent cytotoxic effect. Furthermore, this compound had no significant cytotoxic effect against normal cell line. Docking analysis showed that compound **3b** is bound to the colchicine binding site of tubulin via hydrogen and hydrophobic interactions.

Conclusion: The indole-derived chalcones had a significant selective cytotoxic effect against cancer cells. The *N*-methyl-indole analog **3b** showed better profile of activity against tested cell lines. This analog can be considered as a lead compound for further optimization and development of potent anticancer agents.

Keywords: chalcone, anticancer agents, MTT assay, tubulin polymerization, docking

سنتز، بررسی اثرات سیتو توکسیک و مطالعه داکینگ دو مشتق ایندول-چالکون

حسن میرزایی^۱

محمد شکر زاده^۲

سعید امامی^۳

چکیده

سابقه و هدف: چالکون‌ها الگویی برای طراحی و کشف داروهای ضدسرطان هستند و با مکانیسم‌های مختلف از جمله مهار پلیمریزاسیون توبولین باعث القای آپوپتوز و مهار رشد سلول‌های سرطانی می‌گردند. مطالعه حاضر در راستای سنتز دو ترکیب چالکونی، ارزیابی سمیت سلولی آن‌ها روی سلول‌های سرطانی و سلول‌های نرمال و همچنین مطالعه داکینگ ملکولی این ترکیبات به انجام رسیده است.

مواد و روش‌ها: در این مطالعه تجربی، از واکنش ⁴-متوكسی بنزآلدهید با ³-استیل ایندول در حضور لیتیم هیدروکسید به عنوان کاتالیست ترکیبات چالکونی تهیه شدند و ساختار آن‌ها با استفاده از طیف‌های NMR و IR مورد تایید قرار گرفت. سمیت سلولی این ترکیبات با روش MTT بر روی رده‌های سلول سرطانی HepG2، Mass و SKOV3 و A549 و MCF7 همچنین روی رده سلولی نرمال NIH3T3 در مقایسه با اتوپوزید بررسی شد. سپس برای بررسی مکانیسم احتمالی این ترکیبات، با بهره‌گیری از روش داکینگ ملکولی و با استفاده از نرم افزار AutoDock 4.2 برهمکنش‌های این ترکیبات با جایگاه اتصال کلشی سین در پروتئین توبولین (ISA0) ارزیابی گردید.

یافته‌ها: بر اساس طیف سنجی ¹H NMR و با توجه به ثابت کوپلاز هیدروژن‌های وینیلی (J=15.6 Hz)، چالکون‌های سنتز شده از کانفیگوراسیون ترانس برخوردار هستند. نتایج حاصل از آزمون سمیت سلولی نشان داد که این ترکیبات اثر قابل توجهی در مهار سلول‌های سرطانی دارند. ترکیب **3b** با IC₅₀ ۰/۸ میکرو گرم در میلی لیتر، بیشترین فعالیت را روی رده سلولی HepG2 داشت. ضمن این که ترکیب فوق الذکر فاقد اثر سمی قابل توجه روی رده سلولی نرمال NIH3T3 بود. همچنین آنالیز داکینگ نشان داد که ترکیب **3b** با برهمکنش‌های هیدروژنی و هیدروفوکیک با ریشه‌های اسیدآمینه موجود در جایگاه اتصال کلشی سین در پروتئین توبولین (ISA0) ارتباط برقرار می‌کند.

استنتاج: ترکیبات ایندول-چالکونی سنتز شده می‌توانند به صورت اختصاصی رشد سلول‌های سرطانی را مهار نمایند. آنالوگ ³-متیل ایندول (ترکیب **3b**) پروفایل اثر بهتری را روی سلول‌های سرطانی مورد آزمایش نشان داد. این ترکیب می‌تواند به عنوان الگویی ساختاری برای بهینه سازی و توسعه ترکیبات قوی ضدسرطان مورد توجه قرار گیرد.

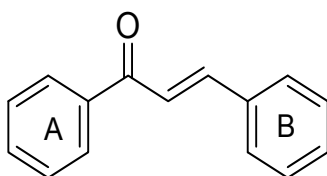
واژه‌های کلیدی: چالکون، ترکیبات ضدسرطان، تست MTT، پلیمریزاسیون توبولین، داکینگ

مقدمه

سرطان به مجموعه گوناگونی از بیماری‌ها اطلاق می‌شود که در اثر افزایش مهار نشده‌ی تکثیر سلول‌ها به وجود می‌آید. در این بیماری مکانیسم‌های حاکم بر تکثیر و تمایز سلول‌ها دچار اختلال می‌شوند. در صورت ایجاد موتابسیون ژنتیکی مخرب، سلول‌های نرمال از مسیر رشد طبیعی خود خارج شده و به سمت ایجاد

موقوف مسئول: سعید امامی - مازندران، ساری، دانشگاه علوم پزشکی مازندران، داشکده داروسازی، گروه شیمی دارویی و مرکز تحقیقات علوم دارویی
 ۱. داشتجویی دکترای پژوهشی، مرکز تحقیقات علوم دارویی، کمیته تحقیقات داشتجویی، دانشگاه علوم پزشکی مازندران، ساری، ایران
 ۲. داشتاری، گروه سه شناسی و داروشناسی، داشکده داروسازی، دانشگاه علوم پزشکی مازندران، ساری، ایران
 ۳. استاد، گروه شیمی دارویی، مرکز تحقیقات علوم دارویی، دانشگاه علوم پزشکی مازندران، ساری، ایران
 * تاریخ دریافت: ۱۳۹۶/۴/۱۰ تاریخ ارجاع چهت اصلاحات: ۱۳۹۶/۶/۲۴ تاریخ تصویب: ۱۳۹۶/۶/۲۹

هستند و می‌توانند منجر به آalkilه شدن نوکلوفیل‌ها شوند، بنابراین نقش پذیرنده مایکل (Michael acceptor) را دارند^(۸،۹).



تصویر شماره ۱: ساختار کلی چالکون

ترکیبات چالکونی اثرات فارماکولوژیک متعدد از جمله ضدلیشمانیا، ضدقارچ، ضدبیروس، ضدمالاریا، ضدالتاہب... از خود نشان می‌دهند^(۱۰). یکی از مهم‌ترین اثرات چالکون‌ها، خاصیت ضدسرطانی می‌باشد که با مکانیسم‌های متعددی از جمله القای آپوپتوز در سلول‌های سرطانی صورت می‌گیرد^(۱۱). مشتقهای متعددی از چالکون‌ها با فعالیت ضد سرطانی گزارش شده است^(۷). یکی از استراتژی‌هایی که برای طراحی چالکون‌های جدید مورد توجه قرار گرفته است، جایگزینی یکی از حلقه‌های فنیل با هتروسیکلهای مختلف از جمله ایندول است^(۱۲). براین اساس در این تحقیق، دو مشتق چالکون-ایندول سنتر گردیده و اثرات سیتو توکسیک آن‌ها روی سلول‌های سرطانی مختلف مورد ارزیابی قرار گرفته است. ضمناً با توجه به این که یکی از مکانیسم‌های شناخته شده چالکون‌ها، مهار پلیمریزاسیون توبولین است، لذا داکینگ مولکولی ترکیبات مذکور در جایگاه اتصال کلشی سین در پروتئین توبولین بررسی شده است.

مواد و روش‌ها

سنتر ترکیبات

نمای کلی سنتر ترکیبات مورد نظر در تصویر شماره ۲ آورده شده است. تمامی واکنش‌ها و ترکیبات به دست آمده به وسیله کروماتوگرافی روی لایه نازک (TLC) کنترل شدند. روش TLC با استفاده از ورقه‌های

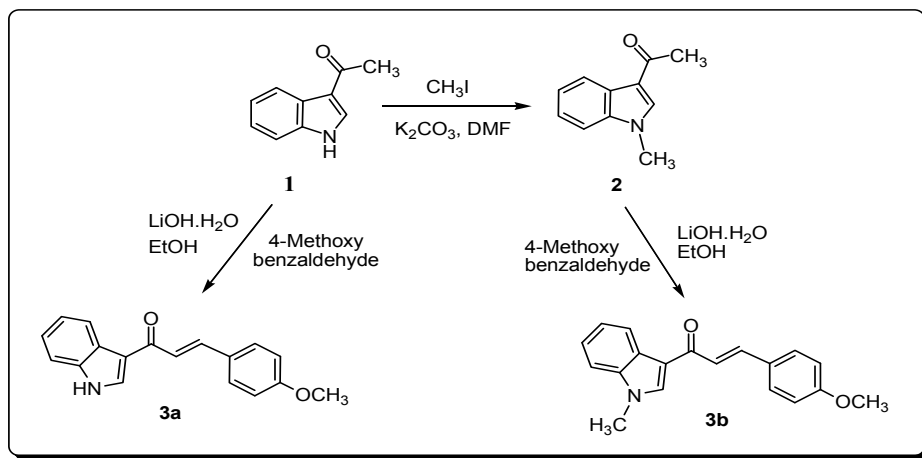
سلول‌های توموری می‌روند^(۲،۱). مطابق گزارش سازمان جهانی بهداشت (WHO)، این بیماری دومین عامل مهم مرگ و میر در جهان محسوب می‌گردد. بنابر پیش‌بینی‌ها، در کشور ایران نیز بروز سرطان در سال ۱۳۹۹ هجری شمسی در حدود ۸۶۰۰۰ بیمار و میزان مرگ و میر ناشی از آن به ۶۳۰۰۰ مورد خواهد رسید^(۴).^(۳)

امروزه شیمی درمانی یکی از مهم‌ترین روش‌ها برای درمان سرطان می‌باشد، اما سمتی بالای داروهای شیمی درمانی موجب عوارض جانبی متعدد می‌شود که این عوارض عبارتند از سرکوب سیستم ایمنی، آسیب بافت‌های کبد و کلیه، کم خونی، ریزش مو...^(۵). ایجاد سلول‌های توموری مقاوم به داروهای ضد سرطان و تخریب بافت‌های سالم از عمدۀ ترین مشکلات برای بیماران سرطانی در طول زمان شیمی درمانی می‌باشد. بدین جهت با توجه به مشکلات فوق، پژوهشگران تلاش‌های فراوانی را برای کشف ترکیبات جدید طبیعی یا سنتزی با خواص ضدسرطانی به کار گرفته‌اند. یکی از استراتژی‌های مهم در علم شیمی دارویی، بهبود کارآیی و کاهش سیتو توکسیسیته داروهای ضدسرطان می‌باشد^(۶)^(۵). بدین منظور ترکیبات ضدسرطان با کارآیی بالا باید بتوانند با مکانیسم‌های مختلف باعث توقف رشد سلول‌های سرطانی و آپوپتوز در آن‌ها شوند، اما در حیات سلول‌های نرمال تاثیری نداشته باشند.

چالکون با نام شیمیایی ۱-دی آریل-۲-پروپن-۱-اون (تصویر شماره ۱) در برگیرنده دو حلقه آروماتیک با یک زنجیره سه کربن‌هه شامل یک پیوند دوگانه و گروه کربونیل است. در سالیان اخیر، چالکون‌ها و مشتقه آن‌ها با افزایش کاربردهای متعدد دارویی توجه را به خود جلب کرده‌اند. چالکون‌ها در ساختار بسیاری از ترکیبات بیولوژیک مهم نقش داشته و پیش‌ساز فلاونونیدها و ایزو فلاونونیدها به شمار می‌روند و در بسیاری از گیاهان وجود دارند^(۷). از لحاظ شیمیایی، چالکون‌ها دارای ساختار کربونیل α و β -ناشایعی

Elmer و طیف رزونانس مغناطیسی هیدروژن (^1H) NMR با بهره‌گیری از دستگاه اسپکترومتر Bruker 400 MHz 400 تهیه گردید و جای به جایی شیمیایی (δ) بر حسب ppm و در مقایسه با شاهد داخلی تترامتیل سیلان (TMS) بود. طیف جرمی ترکیبات با دستگاه Mass Selective Detector (Agilent technologies) ثبت گردید.

نازک آلمینیومی دارای لایه نازک سیلیکاژل صورت پذیرفت و پس از قرار گرفتن در حلal مناسب و پیشرفت حلal و جدا شدن لکه‌ها روی سیلیکاژل، لکه‌ها به وسیله لامپ ماوراء بنفش (UV) قابل روئیت گردید. تغليظ محلول‌ها پس از انجام واکنش و استخراج به وسیله دستگاه تقطیر در خلاء صورت گرفت. نقطه ذوب Bibby Stuart Scientific SMP3 مواد به وسیله دستگاه Perkin و طیف مادون قرمز (IR) با استفاده از دستگاه



تصویر شماره ۲: سنتز مشتقات چالکون

تهیه ترکیب **3a**: ابتدا ۳-استیل ایندول (ترکیب **1**، ۱ میلی مول) در اتانول مطلق (۲ میلی لیتر) حل شد و سپس هیدروکسید لیتیم پودر شده (۰/۱ میلی مول) به محلول واکنش اضافه گردید و به مدت ۱۰ دقیقه در دمای آزمایشگاه بهم زده شد. در مرحله بعدی ۴-متوكسی بنزآلدهید به صورت تدریجی به محلول واکنش اضافه گردید. روند پیشرفت واکنش با استفاده از TLC پیگیری شد. پس از ۲۴ ساعت، واکنش پایان یافت. در پایان واکنش، رسوب زرد رنگ در مخلوط واکنش قابل رویت بود. به مخلوط واکنش آب اضافه کرده و پس از یک شب ماندن در یخچال، رسوب حاصل صاف و با اتانول سرد (۳ بار، هر بار ۳ میلی لیتر) شسته شد. برای به دست آوردن محصول خالص،

تهیه *N*-متیل-۳-استیل ایندول (۲): ابتدا ۳-استیل ایندول (ترکیب **1**، ۱ میلی مول) را در ۶ میلی لیتر از DMF حل کرده و سپس کربنات پتاسیم (۵ میلی مول) پودر شده را به محلول واکنش اضافه و اجازه می‌دهیم به مدت ۵ دقیقه در دمای ۸۰ درجه سانتی گراد هم زده شود. در مرحله بعدی متیل یداید به صورت تدریجی به محلول واکنش اضافه شد و سپس رفلاکس گردید. واکنش تا مصرف مواد اولیه ادامه یافت و روند پیشرفت واکنش با استفاده از TLC پیگیری شد. پس از ۶ ساعت واکنش پایان یافت. سپس به مخلوط واکنش آب اضافه شد و با اتر (۳ بار، هر بار ۲۵ میلی لیتر) استخراج گردید. پس از خشک کردن فاز آلی با سولفات سدیم بدون آب، حلal در فشار کم تبخیر گردید و ترکیب **2** به صورت خالص به دست آمد.^(۱۳)

هزار سلول در هر چاهک پلیت ۹۶ خانه قرار داده شد و در دمای ۳۷ درجه سانتی گراد و ۵ درصد دی اکسید کربن انکوباسیون گردید. پس از طی ۲۴ ساعت انکوباسیون، مقدار ۱۰ میکرولیتر از رقت های مورد نظر به چاهک ها اضافه شد. هر رقت مشتقات چالکون سنتز شده در سه چاهک سنجش شد. پس از ۴۸ ساعت تیمار سلول ها با غلظت های مورد نظر، به منظور بررسی اثر سمیت سلولی مشتقات چالکون از روش رنگ سنجی با MTT استفاده از نمک ترازو لیوم معروف به تست MTT استفاده شد. ۱۰ میکرولیتر محلول MTT (با غلظت ۵ میلی گرم بر میلی لیتر) به هر چاهک اضافه شد و به مدت ۴ ساعت در دمای ۳۷ درجه سانتی گراد انکوبه شد. در نهایت، محلول رویی خارج و به هر چاهک ۲۰۰ میکرولیتر DMSO اضافه گردید تا بلورهای فورمازان تشکیل شده حل گردد. به منظور تعیین میزان جذب نوری هر چاهک که معرف میزان سلول های زنده آن می باشد، جذب نوری توسط دستگاه الایزا ریدر (BioTeck) در طول موج ۵۷۰ و ۶۳۰ نانومتر خوانده شد. درصد بقای سلولی از تقسیم میانگین جذب نوری هر گروه مورد آزمایش بر میانگین جذب نوری گروه کنترل ضرب در عدد ۱۰۰ محاسبه گردید. داده ها با استفاده از نرم افزار آماری SPSS.16 و آزمون ANOVA آنالیز شد و مقادیر کمتر از ۰/۰۵ معنی دار در نظر گرفته شد.

مطالعه داکینگ

آماده سازی پروتئین: ساختار کریستالو گرافی شده توبولین (PDB ID: 1SA0) از بانک اطلاعات پروتئین استخراج گردید. تمامی مولکول های آب، یون منیزیم، GDP، GTP و سایر مولکول ها از پروتئین مورد نظر حذف شدند. زنجیره های A و B به عنوان رپتور هدف انتخاب شد. لوپ ها و ریشه های اسید آمینه از دست رفته در فایل کریستالو گرافی توسط برنامه Modeller

رسوب حاصل بعد از صاف کردن، مجدداً در اتانول متبلور و در دمای اتاق خشک گردید.(۱۶).

تهیه ترکیب ۳b: برای تهیه ترکیب ۳b مشابه روش تهیه ۳a عمل شد، بجز این که بجای ۳-استیل ایندول (۱) از N-متیل-۳-استیل ایندول (۲) استفاده گردید.

تست سمیت سلولی

رده های سلولی سرطان کبد (HepG2)، سرطان سینه (MCF7)، سرطان ریه (A549)، سرطان تخمدان (SKOV3) و رده سلولی نرم الال فیبرو بلاست موش (NIH3T3) از بانک سلولی انتیتو پاستور تهران /RPMI ۱۰ درصد سرم جنین گاوی (FBS) و DMEM حاوی ۱۰ درصد آنتی بیوتیک پنی سیلین - استرپتومایسین در ۱ درصد آنتی بیوتیک پنی سیلین - استرپتومایسین در انکوباتور در دمای ۳۷ درجه سانتی گراد و رطوبت کافی و میزان ۵ درصد دی اکسید کربن نگهداری شدند. پس از رشد ۷۰ درصدی، سلول ها توسط تریپسین - اتیلن دی آمین تراستیک اسید (EDTA) از ته فلاسک جدا شدند و با دور rpm ۱۵۰۰ به مدت ۵ دقیقه سانتریفیوژ شدند. رسوب سلولی حاصل به حالت سوسپانسیون تهیه شد و درصد زنده بودن سلول ها با استفاده از رنگ تریپان بلو و لام هموسایوتومتر توسط میکروسکوپ نوری تعیین شد و پس از اطمینان از عدم آلودگی، از سلول های با درصد زنده بودن بالای ۹۰ درصد جهت انجام آزمایش استفاده شد.

جهت سنجش سمیت سلولی مشتقات چالکون از روش MTT assay استفاده شد. ابتدا ترکیبات سنتز شده در حلال DMSO حل گردید و رقت های مورد نظر شامل ۱، ۱۰، ۵۰، ۱۰۰ و ۲۰۰ میکرو گرم بر میلی لیتر از آن تهیه شد. غلظت نهایی DMSO در محیط کشت در تمامی آزمون ها ۰/۱ درصد بود تا اثر سمیت این ماده به حداقل مقدار خود برسد. در این مطالعه از کشت های سلولی در فاز رشد و تکثیر استفاده گردید. در مرحله بعدی، ۹۰ میکرولیتر از سوسپانسیون سلولی معادل ده

یافته ها

یافته های شیمیایی مربوط به ترکیبات سنتز شده خالص سازی ترکیبات با روش های متداول استخراج و تبلور مجدد انجام شد و ساختار آنها با روش های طیف سنجی مورد تایید قرار گرفت. اسامی شیمیایی، بازده واکنش، نقطه ذوب و اطلاعات طیفی شامل IR و MS ترکیبات سنتز شده در جدول ¹H NMR شماره ۱ آورده شده است. طیف سنجی چالکون های سنتز شده نشان می دهد که با توجه به ثابت کوپلر هیدروژن های وینیلی ($J = 15.6 \text{ Hz}$), ترکیبات مذکور از کانفیگوراسیون ترانس برخوردار هستند.

فعالیت سیتو توکسیک ترکیبات اثرات سمیت سلولی غلظت های مختلف مشتقات سنتز شده با کمک روش MTT بر روی رده های سلولی سرطان کبد (HepG2)، سرطان سینه (MCF7)، سرطان ریه (A549)، سرطان تخدمان (SKOV3) و رده سلولی نرم الیافی و بلاست موش (NIH3T3) در مقایسه با اتوپوزاید به عنوان داروی استاندارد مورد بررسی قرار گرفت. اثرات ترکیب 3a و 3b در غلظت های مختلف نمودارهای شماره ۱ و ۲ به نمایش درآمده است. همچنان که مشاهده می شود، با افزایش غلظت ترکیب از ۱ تا ۲۰۰ میکرو گرم بر میلی لیتر در مدت زمان ۴۸ ساعت، توانایی زنده بودن سلول ها نسبت به حالت کنترل کاهش می یابد.

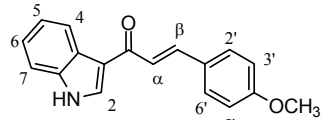
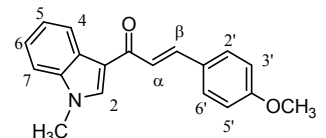
9.17 بازسازی شدن (۱۵) و به عنوان ورودی نرم افزار AutoDock استفاده شد. سپس اتم های هیدروژن به ساختار پروتئین افزوده شد، بار الکتریکی آن با استفاده از Kollman charge تعیین گردید. سپس هیدروژن های غیر یونیزه ادغام شد.

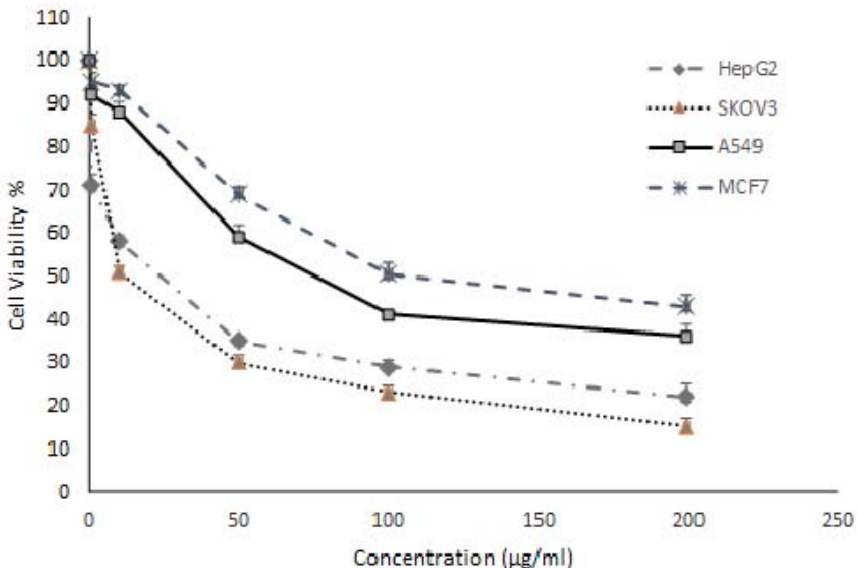
آماده سازی لیگاند: ابتدا ساختار دو بعدی لیگاند ها توسط برنامه ChemDraw Ultra 8.0 ترسیم شد و سپس با استفاده از نرم افزار HyperChem از نظر انرژی بهینه شد. بار الکتریکی Gastiger و تعداد درجات آزادی زوایای پیچشی لیگاند نیز محاسبه و ذخیره شد. در نهایت لیگاند های بهینه شده به عنوان ورودی نرم افزار AutoDock Tools 4.2 استفاده شد.

داکینگ مولکولی: پس از تهیه فایل های مورد نیاز داکینگ به منظور بررسی برهمکنش مولکولی بین ترکیبات چالکون و رسپتور هدف از نرم افزار اختصاصی داکینگ مولکولی AutoDock 4.2 استفاده شد. برای انجام محاسبات داکینگ از اندازه باکس $40 \times 40 \times 40$ استفاده شد و فاصله بین نقاط شبکه (Point spacing) برای هر لیگاند، عدد $375 / 375$ انتخاب شد. سپس مختصات مرکز نقل لیگاند کریستالوگرافی موجود در جایگاه اتصال کلشی سین به عنوان مرکز گردید باکس تعیین شد. از الگوریتم ژنتیک لامارکین برای جستجوی محلی تکرار شونده استفاده گردید. پس از انجام محاسبات داکینگ، بهترین کانفورماسیون با پایین ترین میزان انرژی آزاد اتصال، انتخاب و در نهایت برهمکنش های هیدروژنی و هیدروفوبی کمپلکس توبولین لیگاند به وسیله نرم افزار DS Visualizer V تعیین شد.

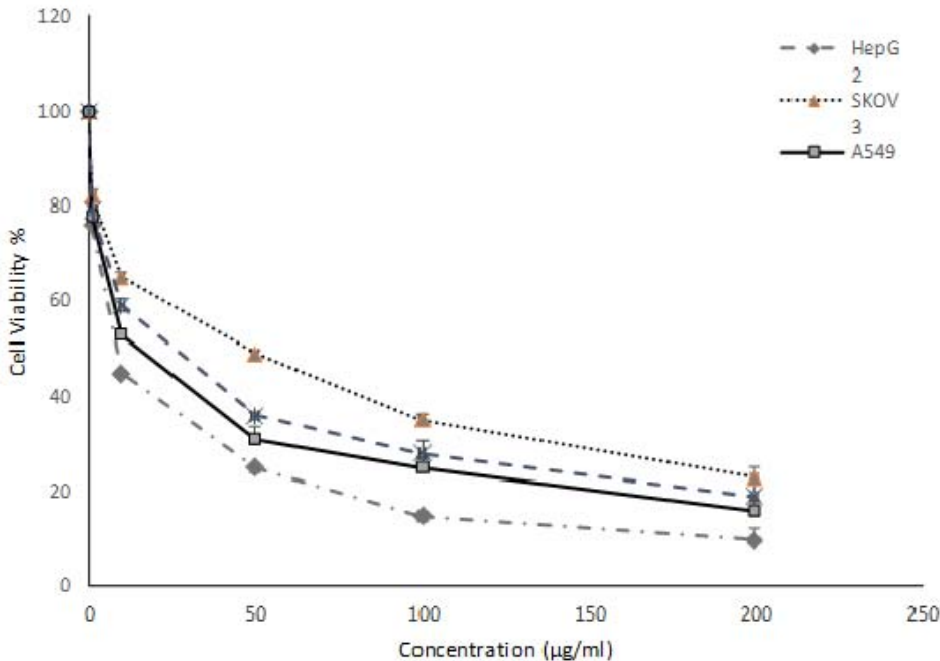
16.1 آنالیز گردید (۱۶).

جدول شماره ۱: اسمی شیمیابی، خصوصیات فیزیکوشیمیابی و طیفی ترکیبات سنتز شده

کد ترکیب	ساختمان و نام شیمیابی	اطلاعات فیزیکوشیمیابی و طیف سنجی
3a	 <p>(E)-1-(1<i>H</i>-indol-3-yl)-3-(4-methoxyphenyl)prop-2-en-1-one</p>	Yield: 57%; mp: 205-207 °C IR (KBr, cm ⁻¹) ν_{max} : 3448 (NH), 1638 (C=O). ¹H NMR (400 MHz, DMSO-d ₆) δ: 3.81 (s, 3H, OCH ₃), 7.01 (d, 2H, <i>J</i> = 8.8 Hz, H _{3',5'}), 7.18-7.26 (m, 2H, H _{5,6}), 7.49 (dd, 1H, <i>J</i> = 6.8 and 1.6 Hz, H ₇), 7.59 (d, 1H, <i>J</i> = 15.6 Hz, H _a), 7.80 (d, 2H, <i>J</i> = 8.8 Hz, H _{2,6'}), 8.33 (dd, 1H, <i>J</i> = 6.8 and 1.6 Hz, H ₄), 8.69 (s, 1H, H ₂), 12.1 (s, 1H, NH). MS (m/z, %): 277 (M ⁺ , 100), 262 (27), 248 (13), 217 (8), 204 (17), 169 (21), 144 (52), 116 (28), 102 (11), 89 (37), 77 (10), 63 (14).
3b	 <p>(E)-3-(4-methoxyphenyl)-1-(1-methyl-1<i>H</i>-indol-3-yl)prop-2-en-1-one</p>	Yield: 51%; mp: 129-131 °C IR (KBr, cm ⁻¹) ν_{max} : 3445 (NH), 1640 (C=O). ¹H NMR (400 MHz, DMSO-d ₆) δ: 3.82 (s, 3H, OCH ₃), 3.91 (s, 3H, NCH ₃), 7.02 (d, 2H, <i>J</i> = 8.8 Hz, H _{3',5'}), 7.24-7.33 (m, 2H, H _{5,6}), 7.57 (d, 1H, <i>J</i> = 6.8 Hz, H ₇), 7.59 (d, 1H, <i>J</i> = 15.6 Hz, H _a), 7.64 (d, 1H, <i>J</i> = 15.6 Hz, H _b), 7.79 (d, 2H, <i>J</i> = 8.4 Hz, H _{2,6'}), 8.34 (dd, 1H, <i>J</i> = 7.2 and 0.8 Hz, H ₄), 8.70 (s, 1H, H ₂). MS (m/z, %): 291 (M ⁺ , 100), 276 (17), 263 (28), 158 (60), 131 (27), 103 (20), 89 (16), 77 (24).



نمودار شماره ۱: تاثیر ترکیب 3a بر رشد سلول‌های سرطانی در غلظت‌های مختلف (۱، ۱۰، ۵۰، ۱۰۰ و ۲۰۰ میکروگرم بر میلی‌لیتر) برای مدت زمان ۴۸ ساعت. هر آزمایش سه مرتبه تکرار شد ($p < 0.05$).



نمودار شماره ۲: تأثیر ترکیب ۳b بر رشد سلول‌های سرطانی در غلظت‌های مختلف (۱، ۱۰، ۵۰، ۱۰۰ و ۲۰۰ میکروگرم بر میلی‌لیتر) برای مدت زمان ۴۸ ساعت. هر آزمایش سه مرتبه تکرار شد ($p<0.05$)

ترکیب ۳a روی این سلول‌ها دارد. در حالی که اتوپوزاید به عنوان کنترل مثبت دارای IC_{50} معادل ۷/۸ میکروگرم بر میلی‌لیتر می‌باشد و قوی‌تر از ترکیبات چالکونی روی رده‌های سلولی سرطانی A549 و MCF7 عمل می‌کند.

سمیت سلولی مشتقات چالکون روی رده سلول سرطانی SKOV3 نشان داد که ترکیب ۳a با IC_{50} معادل ۱۰/۴ میکروگرم بر میلی‌لیتر فعالیت بیشتری نسبت به ترکیب ۳b با IC_{50} معادل ۴۹/۳ میکروگرم بر میلی‌لیتر دارد. در حالی که اتوپوزاید به عنوان کنترل مثبت دارای IC_{50} معادل ۸/۵ میکروگرم بر میلی‌لیتر می‌باشد.

مقادیر IC_{50} بدست آمده برای مشتقات چالکون روی رده سلول نرم‌مال NIH3T3 حاکی از آن است که این ترکیبات اثر سمی بسیار ضعیفی روی سلول‌های نرم‌مال دارند ($IC_{50} \geq 112.0 \mu\text{g/ml}$) بنابراین با توجه به مقادیر کمتر IC_{50} به دست آمده برای دو ترکیب

مقادیر محاسبه شده IC_{50} هر یک از ترکیبات چالکونی به همراه اتوپوزاید به عنوان کنترل مثبت بر روی رده‌های سلولی سرطانی و نرم‌مال، در جدول شماره ۲ آمده است. همان‌گونه که مشاهده می‌شود، مقادیر IC_{50} دو ترکیب چالکونی روی سلول‌های سرطانی در محدوده ۸/۱ تا ۱۰۵/۴ میکروگرم بر میلی‌لیتر بوده است. نتایج نشان می‌دهد که ترکیب ۳b بیشترین سمیت ($IC_{50} = 8.1 \mu\text{g/ml}$) و ترکیب ۳a دارای کمترین اثر سمی ($IC_{50} = 24.2 \mu\text{g/ml}$) در رده سرطانی G2 می‌باشد. در حالی که اتوپوزاید به عنوان کنترل مثبت دارای IC_{50} معادل ۹ میکروگرم بر میلی‌لیتر می‌باشد. بنابراین ترکیب ۳b در مقایسه با اتوپوزاید فعالیت بیشتری روی رده سرطانی HepG2 دارد. علاوه بر این نتایج حاصل از اثر سمیت سلولی مشتقات چالکون بر رده‌های سلولی سرطانی A549 و MCF7 نشان داد که ترکیب ۳b به ترتیب با مقادیر IC_{50} معادل ۱۶ و ۲۴ میکروگرم بر میلی‌لیتر سمیت سلولی بیشتری نسبت به

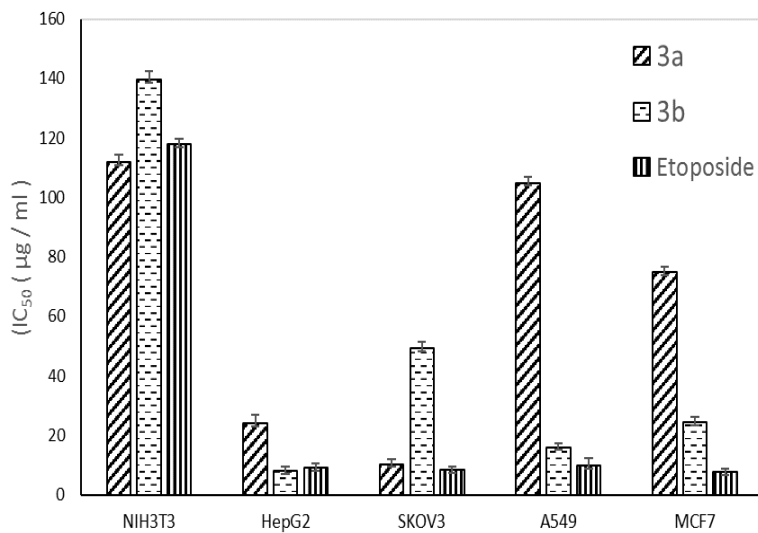
با توجه به نتایج حاصل از نمودار شماره ۱ و ۲ و همچنین مقادیر IC_{50} می‌توان نتیجه گرفت که ترکیب ۳b پروفایل اثر بهتری را نسبت به ترکیب ۳a نشان داده است، لذا ترکیب ۳b برای مطالعه داکینگ ملکولی مورد استفاده قرار گرفت. نمودار شماره ۳ مقادیر IC_{50} را بر حسب هر رده سلولی نشان می‌دهد.

چالکونی روی سلول‌های سرطانی می‌توان نتیجه گرفت که این ترکیبات به صورت اختصاصی روی سلول‌های سرطانی عمل می‌کنند. ترکیب ۳a روی SKOV3 و ترکیب ۳b روی HepG2 بیشترین اختصاصیت (Selectivity index) را نشان می‌دهند.

جدول شماره ۲: مقادیر IC_{50} (میانگین \pm انحراف استاندارد) ترکیبات روی رده‌های سلول سرطانی و نرمال بر حسب میکروگرم بر میلی‌لیتر

($\mu\text{g}/\text{ml}$)

Compound	IC_{50} ($\mu\text{g}/\text{ml}$)				
	A549	MCF7	SKOV3	HepG2	NIH3T3
3a	۱۰۵/۴ \pm ۰/۷	۷۵/۰ \pm ۰/۸	۱۰/۴ \pm ۰/۷	۲۴/۲ \pm ۰/۱	۱۱۲/۰ \pm ۱/۲
3b	۱۶/۰ \pm ۰/۸	۲۶/۴ \pm ۰/۹	۴۹/۳ \pm ۰/۳	۸/۱ \pm ۰/۱	۱۳۹/۷ \pm ۱/۴
Etoposide	۷/۸ \pm ۰/۱	۹/۹ \pm ۰/۴	۸/۵ \pm ۰/۴	۹/۰ \pm ۰/۱	۱۱۸/۰ \pm ۰/۱



نمودار شماره ۳: مقادیر IC_{50} محاسبه شده ترکیبات ۳a، ۳b و داروی اتوپوزاید به عنوان کنترل مثبت در رده‌های سلول سرطانی و نرمال بر حسب میکروگرم بر میلی‌لیتر

آنکسترم بود که نشان می‌دهد پارامترهای لحاظ شده در فرایند داکینگ از دقت مناسبی برخوردار است. ارزیابی نتایج داکینگ ترکیبات سنتز شده با رسپتور توسط برنامه DS Visualizer 16.1 نشان داد که ریشه اسید آmine Tyr224 با گروه کربونیل ترکیب ۳b پیوند هیدروژنی تشکیل می‌دهد (تصویر شماره ۳) و اسیدهای آمینه Asp98، Ala99، Thr145، Gly144، Asp145

داکینگ جهت معتبرسازی نتایج حاصل از داکینگ ترکیبات چالکون سنتز شده، از لیگاند موجود در ساختار کریستالوگرافی پروتئین 1SA0 استفاده گردید. برای این منظور لیگاند کریستالوگرافی مجدداً به درون جایگاه خود داک گردید و RMSD آن اندازه گیری شد. مقدار RMSD لیگاند داک شده و کریستاله، ۰/۹۹

بعد از قرار گرفتن در معرض ترکیبات سنتز شده مورد ارزیابی قرار گرفت.

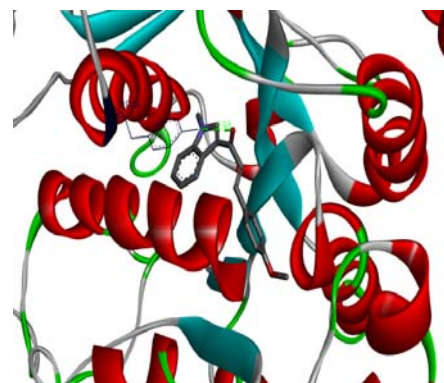
نتایج آزمایشات سیتو توکسیک نشان می دهد که بقا سلول های سرطانی وابسته به غلظت ترکیب مورد استفاده می باشد. به طوری که غلظت های بالاتر دارای اثرات سیتو توکسیک بیشتری نسبت به غلظت های پایین تر این ترکیب می باشد. براساس نتایج به دست آمده از سنجش سمیت سلولی، ترکیب **3b** در سه رده سلولی HepG2، MCF7 و A549 سمیت سلولی بیشتری در مقایسه با ترکیب **3a** داشت. در حالی که ترکیب **3a** تنها در رده سلولی سرطانی SKOV3 دارای سمیت سلولی بیشتر در مقایسه با ترکیب **3b** بود (جدول شماره ۲). بنابراین می توان نتیجه گرفت که حضور گروه متیل در اتم ازت ریشه ایندول، تأثیر به سزایی در میزان اثر سیتو توکسیک داشته است.

هم چنین سمیت سلولی ترکیبات با داروی استاندارد اتوپوزاید مقایسه و نتایج به دست آمده نشان داد که در رده سلولی HepG2، ترکیب **3b** سمیت سلولی بیشتری نسبت به داروی مذکور داشته است.

همان گونه که قبل ام اشاره گردید، یکی از استراتژی های مهم برای توسعه چالکون های ضد سرطان، جایگزینی حلقه های فنیل چالکون با هترو سیکل های مختلف است (۱۲). مادر مطالعات گذشته از این استراتژی با به کار گیری حلقه های کروم و کومارین در ترکیبات چالکونئید ضد سرطان بهره برده ایم (۱۷، ۱۸، ۹). حلقه ایندول هم یکی از مهم ترین هترو سیکل ها در طبیعت می باشد و در بسیاری از سیستم های بیولوژیک یافت می گردد. حلقه ایندول در ساختار بسیاری از عوامل دارویی جدید از جمله داروهای ضد سرطان نیز یافت می شود (۱۹).

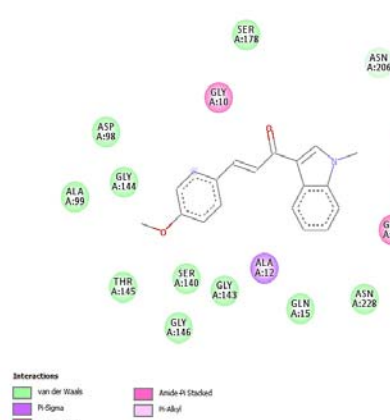
Kumar و همکارانش در سال ۲۰۱۰، فعالیت سیتو توکسیک ترکیبات چالکون- ایندولی **4** (تصویر شماره ۵) را روی سه رده سلولی سرطانی شامل ابی تیال (A-549)، کارسینومای پانکراتیک (Paca-2) و

Asn228، Gly143، Gln15، Ser140 و Ser178 در جایگاه فعال آنزیم با ترکیب **3b** پیوند واندروالس می دهد. هم چنین این ترکیب با اسیدهای آمینه Gln11، Gly10، Ile171 و Ala12 بر همکنش هیدروفوبیک می دهد (شکل شماره ۴).



تصویر شماره ۳: نحوه قرار گیری ترکیب **3b** در جایگاه فعال

آنژیم ISA0 به صورت مدل سه بعدی



تصویر شماره ۴: نمایش دو بعدی بر همکنش های هیدروفوبی و واندروالس ترکیب **3b** با جایگاه فعال پروتئین ISA0

بحث

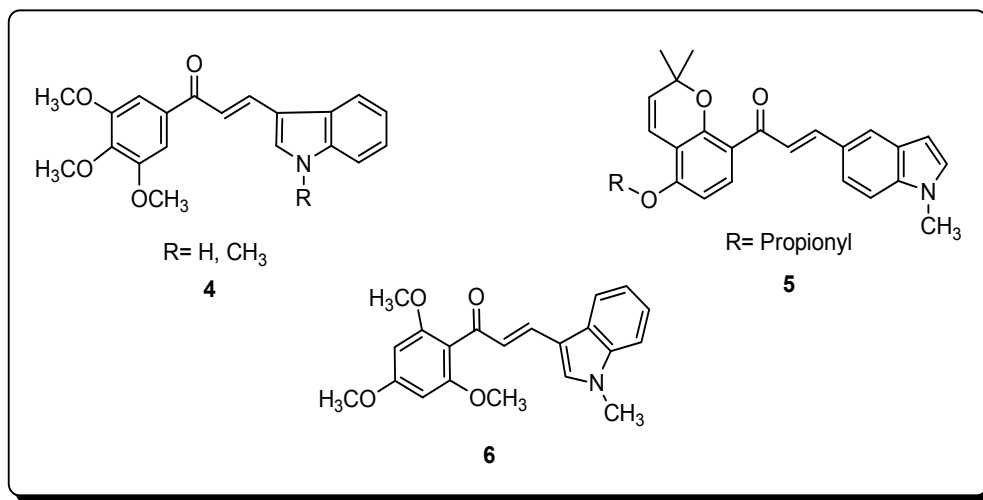
در این مطالعه دو ترکیب ایندول- چالکونی سنتز شدن و اثر ضد سرطانی آنها روی رده های سلولی سرطانی با استفاده از روش MTT مورد بررسی قرار گرفت. در این روش میزان حیات سلول و سمیت سلولی

ملکولی داکینگ ثابت کرد که این ترکیب با جایگاه اتصال توبولین در کلشی سین واکنش می‌دهد^(۲۱). لذا می‌توان استباط کرد که گروه *N*-متیل ایندول نقش به سزائی در سمیت سلولی و مهار جایگاه اتصال کلشی سین در پروتئین توبولین دارد و با نتایج مطالعه حاضر سازگار می‌باشد.

Boumendjel و همکارانش نیز یک سری از مشتقات چالکون-ایندولی⁶ (تصویر شماره^(۵)) را طراحی و سنتر نموده و اثرات مهاری آنها را روی^۴ رده سلولی انسانی و موشی glioblastoma با استفاده از فلوسایتومتری روی گلیکوپروتئین p (P-gp) و Breast Cancer Resistance Protein (BCRP) ارزیابی کردند و مشاهده نمودند که مشتق حاوی گروه *N*-متیل در ریشه ایندول، تکثیر را مهار و سلول را در فاز میتوز متوقف می‌کند. هم‌چنین این ترکیب در جایگاه کلشی سین در توبولین متصل و باعث مهار پلیمریزاسیون توبولین می‌گردد^(۲۲). نتایج این مطالعه نیز نشان داد گروه *N*-متیل ایندول می‌تواند نقش مهمی در طراحی و سنتز ترکیبات جدید ایفا کند که با یافته‌های پژوهش ما هم‌خوانی دارد.

آدنوکارسینومای پروسستات انسانی مستقل از اندرورژن (PC-3) بررسی کرده و مشاهده کردند که IC₅₀ مشتق حاوی گروه *N*-متیل در ریشه ایندول با^{۰/۰۳} میکرومولار، سمیت سلولی بیشتری در مقابله رده سلولی سرطانی² Paca داشت^(۲۰). در ترکیبات سنتز شده توسط ما، گروه کربونیل به حلقه ایندول متصل است که بر عکس پژوهش Kumar و همکارانش می‌باشد، ولی ترکیب^{3b} که موثرترین ترکیب مطالعه می‌باشد، حاوی حلقه ایندول متیله می‌باشد که از این منظر با یافته‌های سیتو توکسیک مطالعه مذکور مطابقت دارد.

در مطالعه‌ای دیگر، Wang و همکارانش نیز در سال ۲۰۱۴ یک سری از چالکون‌های⁵ (تصویر شماره^(۵)) حاوی حلقه ایندول را سنتر نموده و فعالیت آنها را بررسی کردند. در میان ترکیبات سنتز شده، مشتق حاوی گروه پروپیونیل در جایگاه شماره^۴ حلقه فنیل و گروه *N*-متیل-۵-ایندولیل با^{۰/۲۲} IC₅₀ برابر با^{۰/۰۵} میکرو گرم در میلی لیتر، موثرترین فعالیت را در مقابله رده سلولی سرطانی HepG2 دارا بود. علاوه بر این، ترکیب مذکور باعث توقف سیکل سلولی در فاز G2/M می‌شود. آنالیز هم‌چنین مهار پلیمریزاسیون توبولین می‌گردد. آنالیز



تصویر شماره^(۵): برخی ترکیبات چالکون-ایندول گزارش شده با خاصیت سیتو توکسیک روی سلول‌های سرطانی

در مطالعه ما نتایج داکینگ نشان داد که مشتق چالکونی **3b** با انرژی آزاد اتصال $-7/53$ کیلو کالری بر مول، اتصال فوی تری را نسبت به ترکیب **3a** با جایگاه فعال آنژیم دارد و موجب مهار بهتر این آنژیم می‌گردد. وجود گروه هیدروفوییک متیل بر روی اتم ازت حلقه ایندول می‌تواند در اتصال بهتر ترکیب **3b** و رسپتور مؤثر باشد. هم‌چنین این گروه متیل می‌تواند به طور کامل پاکت هیدروفوییک جایگاه فعال آنژیم را پر کند و بهترین جهت گیری را به منظور ایجاد پیوند هیدروفوژنی و هیدروفوییک برای مولکول فراهم آورد و بر همین اساس، این مولکول بهترین انرژی پیوندی را دارا می‌باشد.

Ducki و همکارانش در سال ۲۰۰۹ یک مطالعه آنالیز داکینگ را در خصوص شاهد ساختمانی چالکون و کمبراتستاتین و اتصال آن به جایگاه کلشی‌سین انجام دادند و نتیجه گیری کردند که کمبراتستاتین با جایگاه کلشی‌سین در توبولین بتا متصل می‌گردد و چالکون‌ها نیز در همان جهت با توبولین متصل می‌گردند. لذا چالکون‌هایی حاوی حلقه فنیل، میل ترکیبی بیشتری در اتصال با جایگاه کلشی‌سین در توبولین بتا در مقایسه با کمبراتستاتین دارند. با توجه به مطالعه داکینگ انجام شده ثابت گردید که انعطاف‌پذیری حلقه فنیل یک عامل مهم در اتصال به جایگاه توبولین می‌باشد (۲۳، ۲۴). از آن جایی که ترکیبات سنتز شده در پژوهش ما حاوی گروه **4-۶** متوكسی فنیل می‌باشند که می‌تواند با اسیدهای آمینه موجود در جایگاه فعال برهمکنش بدهد و سبب مهار جایگاه اتصال کلشی‌سین گردد، بنابراین یافته‌های به دست آمده از آنالیز مطالعه داکینگ ترکیبات سنتز شده با نتایج مطالعه مذکور مطابقت دارد.

توبولین‌ها به دلیل نقشی که در میتوز و تقسیم سلولی ایفا می‌کنند، می‌توانند به عنوان هدف مهم در طراحی داروهای ضد سرطانی مورد استفاده قرار بگیرند. ترکیباتی مانند کمبراتستاتین و چالکون‌ها با اتصال به

سپاسگزاری

این مقاله در راستای پایان‌نامه آقای حسن میرزایی دانشجوی Ph.D پژوهشی مرکز تحقیقات علوم دارویی، دانشکده داروسازی، دانشگاه علوم پزشکی مازندران می‌باشد که از حمایت مالی معاونت تحقیقات و فناوری دانشگاه علوم پزشکی مازندران برخوردار بوده است. لذا از این طریق صمیمانه از معاونت متبعه سپاسگزاری می‌نماییم.

References

1. Sonnenschein C, Soto AM. Theories of carcinogenesis: an emerging perspective. *Semin Cancer Biol* 2008; 18(5): 372-377.
2. William Jr, William N, Heymach JV, Kim ES, Lippman SM. Molecular targets for cancer chemoprevention. *Nat Rev Drug Discov* 2009; 8(3): 213-225.
3. Ferlay J, Soerjomataram I, Dikshit R, Eser S, Mathers C, Rebelo M, et al. Cancer incidence and mortality worldwide: sources, methods and major patterns in GLOBOCAN 2012. *Int J Cancer* 2015; 136(5): 359-386.
4. Mousavi SM, Gouya MM, Ramazani R, Davanlou M, Hajsadeghi N, Seddighi Z. Cancer incidence and mortality in Iran. *Ann Oncol* 2009; 20(3): 556-563.
5. Larsen ME, Rowntree J, Young AM, Pearson S, Smith J, Gibson OJ, et al. Chemotherapy side-effect management using mobile phones. *Conf Proc IEEE Eng Med Biol Soc* 2008; 5152-5155
6. Ansari M, Emami S. β -Ionone and its analogs as promising anticancer agents. *Eur J Med Chem* 2016; 123: 141-154.
7. Mirzaei H, Emami S. Recent advances of cytotoxic chalconoids targeting tubulin polymerization: Synthesis and biological activity. *Eur J Med Chem* 2016; 121: 610-639.
8. Nakhjiri M, Safavi M, Alipour E, Emami S, Atash AF, Jafari-Zavareh M, et al. Asymmetrical 2,6-bis(benzylidene)cyclohexanones: Synthesis, cytotoxic activity and QSAR study. *Eur J Med Chem* 2012; 50: 113-123.
9. Molaverdi F, Khoobi M, Emami S, Alipour M, Firuzi O, Foroumadi A, et al. Polyoxygenated cinnamoylcoumarins as conformationally constrained analogs of cytotoxic diarylpentanoids: synthesis and biological activity. *Eur J Med Chem* 2013; 68: 103-110.
10. Matos MJ, Vazquez-Rodriguez S, Uriarte E, Santana L. Potential pharmacological uses of chalcones: a patent review (from June 2011 - 2014). *Expert Opin Ther Pat* 2015; 25(3): 351-366.
11. Mirzaei H, Keighobadi M, Emami S. An overview of anticancer chalcones with apoptosis inducing activity. *J Mazand Univ Med Sci* 2017; 26(146): 254-268.(persian)
12. Sharma V, Kumar V, Kumar P. Heterocyclic chalcone analogues as potential anticancer agents. *Anticancer Agents Med Chem* 2013; 13(3): 422-432.
13. Zahran MAH, Ibrahim AM. Synthesis and cellular cytotoxicities of new N-substituted indole-3-carbaldehyde and their indolylchalcones. *J Chem Sci* 2009; 121(4): 455-462.
14. Bhagat S, Sharma R, Sawant DM, Sharma L, Chakraborti AK. LiOH•H₂O as a novel dual activation catalyst for highly efficient and easy synthesis of 1, 3-diaryl-2-propenones by Claisen-Schmidt condensation under

- mild conditions. *J Mol Catal A: Chem* 2006; 244(1-2): 20-24.
15. Sakhteman A, Zare B. Modelface: an application programming interface (API) for homology modeling studies using Modeller software. *Iran J Pharm Res* 2016; 15(4): 801-807.
 16. Dassault Systèmes BIOVIA, Discovery Studio Modeling Environment, Release 2017, San Diego: Dassault Systèmes, 2016
 17. Aryapour H, Riazi GH, Ahmadian S, Foroumadi A, Mahdavi M, Emami S, Induction of apoptosis through tubulin inhibition in human cancer cells by new chromene-based chalcones. *Pharm Biol* 2012; 50(12): 1551-1560.
 18. Firoozpour L, Edraki N, Nakhjiri M, Emami S, Safavi M, Kabudanian ,etal. Cytotoxic activity evaluation and QSAR study of chromene-based chalcones. *Arch Pharm Res* 2012; 35(12): 2117-2125.
 19. Sharma V, Kumar P, Pathak D. Biological importance of the indole nucleus in recent years: a comprehensive review. *J Heterocyclic Chem* 2010; 47(3): 491-502.
 20. Kumar D, Kumar NM, Akamatsu K, Kusaka E, Harada H, Ito T. Synthesis and biological evaluation of indolyl chalcones as antitumor agents. *Bioorg Med Chem Lett* 2010; 20(13): 3916-3919.
 21. Wang G, Li C, He L, Lei K, Wang F, Pu Y, et al. Design, synthesis and biological evaluation of a series of pyrano chalcone derivatives containing indole moiety as novel anti-tubulin agents. *Bioorg Med Chem* 2014; 22(7): 2060-2079.
 22. Boumendjel A, McLeer-Florin A, Champelovier P, Allegro D, Muhammad D, Souard F, et al. A novel chalcone derivative which acts as a microtubule depolymerising agent and an inhibitor of P-gp and BCRP in in-vitro and in-vivo glioblastoma models. *BMC Cancer* 2009; 9: 242.
 23. Ducki S. Antimitotic chalcones and related compounds as inhibitors of tubulin assembly. *Anti-Cancer Agents in Med Chem* 2009; 9(3): 336-347.
 24. Ducki S, Rennison D, Woo M, Kendall A, Chabert JF, McGown AT, et al. Combretastatin-like chalcones as inhibitors of microtubule polymerization. Part 1: synthesis and biological evaluation of antivascular activity. *Bioorg Med Chem* 2009; 17(22): 7698-7710.